

### 3. GENERALITES

Analyse globale  
élastique  
au premier ordre.

=> Principe de superposition.

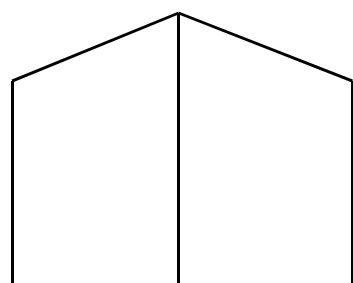
$$\begin{aligned} M(P_1, P_2) &= M(P_1) + M(P_2) \\ N(P_1, P_2) &= N(P_1) + N(P_2) \\ V(P_1, P_2) &= V(P_1) + V(P_2) \\ u(P_1, P_2) &= u(P_1) + u(P_2) \\ v(P_1, P_2) &= v(P_1) + v(P_2) \\ \phi(P_1, P_2) &= \phi(P_1) + \phi(P_2) \end{aligned}$$

$$E(P_1, \dots, P_N) = \sum_{i=1}^N E(P_i)$$

1

### 3. GENERALITES

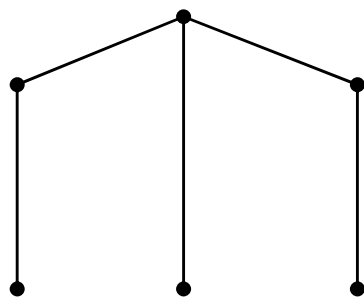
Nœud: point de rencontre géométrique des axes des barres.



2

### 3. GENERALITES

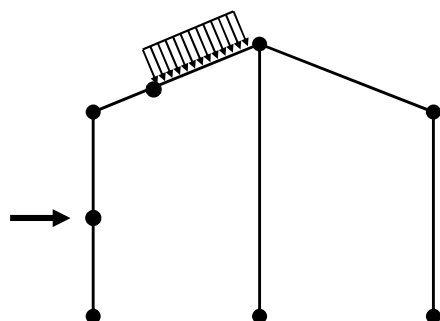
Nœud: point de rencontre géométrique des axes des barres.



3

### 3. GENERALITES

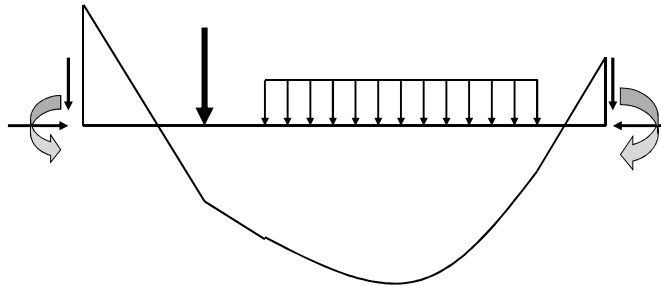
Nœud: point de rencontre géométrique des axes des barres.  
On peut en ajouter.



4

### 3. GENERALITES

On calcule les résultats (forces ou déplacements) aux noeuds.  
On sera ensuite capable de calculer les efforts et les déplacements à l'intérieur de chaque barre par les relations force-déplacement dans une barre, en tenant compte des forces appliquées le long de la barre.



5

### 4. METHODE DES FORCES

Si structure isostatique,  
équilibre d'ensemble => réactions d'appuis  
+ charges extérieures => M,N,V.

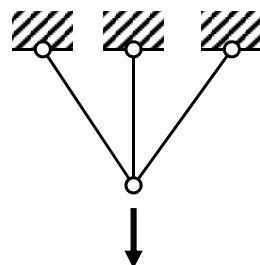
Si structure hyperstatique,  
 $N$  équations d'équilibre  $\Leftrightarrow N+h$  inconnues  
 $\Rightarrow h$  inconnues hyperstatiques

6

#### 4. METHODE DES FORCES

$h$  inconnues hyperstatiques

On pourrait rendre la structure isostatique  
en effectuant  $h$  coupures,  
chaque coupure libérant une inconnue.

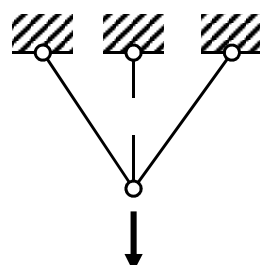


7

#### 4. METHODE DES FORCES

$h$  inconnues hyperstatiques

On pourrait rendre la structure isostatique  
en effectuant  $h$  coupures,  
chaque coupure libérant une inconnue.

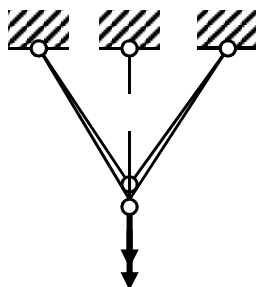


8

#### 4. METHODE DES FORCES

On pourrait rendre la structure isostatique  
en effectuant  $h$  coupures,  
chaque coupure libérant une inconnue.

mais on n'a plus le même comportement.

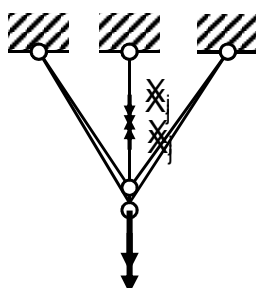


9

#### 4. METHODE DES FORCES

On peut retrouver le même comportement  
en appliquant des efforts  $X_j$   
qui referment la coupure.

Mais on ne connaît pas la grandeur de  $X_j$ .

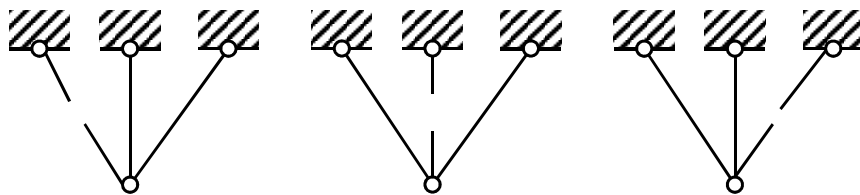


10

## 4. METHODE DES FORCES

Structure rendue isostatique = structure de référence,  $S_0$

Il y a plusieurs manières possibles de couper.



*Il faut que  $S_0$  soit un système stable !!!*

11

## 4. METHODE DES FORCES

### 4.1 Détermination du degré d'hyperstaticité $h$

On peut faire des coupures  
soit aux liaisons avec le monde extérieur (appuis).

Appui à rouleau: 1 force inconnue  $\perp$  à la fondation



12

## 4. METHODE DES FORCES

### 4.1 Détermination du degré d'hyperstaticité $h$

On peut faire des coupures

soit aux liaisons avec le monde extérieur (appuis).

Appui à rotule: 2 forces inconnues (de direction quelconques).



13

## 4. METHODE DES FORCES

### 4.1 Détermination du degré d'hyperstaticité $h$

On peut faire des coupures

soit aux liaisons avec le monde extérieur (appuis).

Appui à rotule remplacé par un rouleau:

1 force inconnue.



14

## 4. METHODE DES FORCES

### 4.1 Détermination du degré d'hyperstaticité $h$

On peut faire des coupures  
soit aux liaisons avec le monde extérieur (appuis).

Encastrement: 2 forces inconnues de direction quelconque  
+ 1 moment = 3 inconnues.



15

## 4. METHODE DES FORCES

### 4.1 Détermination du degré d'hyperstaticité $h$

On peut faire des coupures  
soit aux liaisons avec le monde extérieur (appuis)  
soit à l'intérieur de la structure.

Barre de treillis: 1 paire de forces inconnue.



16

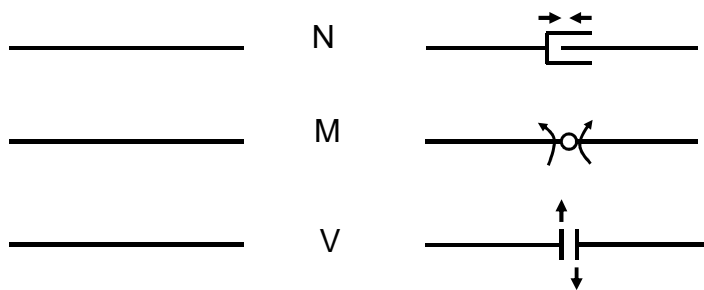
## 4. METHODE DES FORCES

### 4.1 Détermination du degré d'hyperstaticité $h$

On peut faire des coupures

- soit aux liaisons avec le monde extérieur (appuis)
- soit à l'intérieur de la structure.

Barre de type poutre: 1 paire de forces inconnue si coupure sur une seule sollicitation.



17

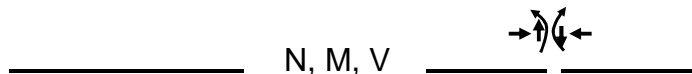
## 4. METHODE DES FORCES

### 4.1 Détermination du degré d'hyperstaticité $h$

On peut faire des coupures

- soit aux liaisons avec le monde extérieur (appuis)
- soit à l'intérieur de la structure.

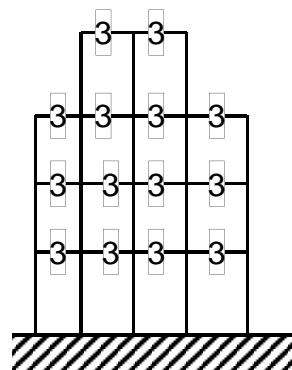
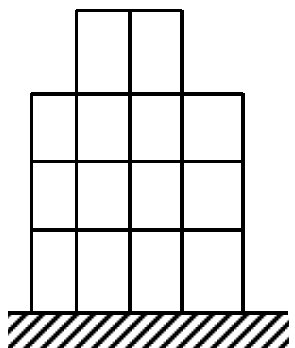
Barre de type poutre: 3 paires d'inconnue si coupure totale.



18

## 4. METHODE DES FORCES

### 4.1 Détermination du degré d'hyperstatique $h$



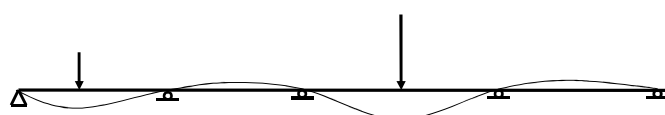
$$h = 14 \times 3 = 42$$

19

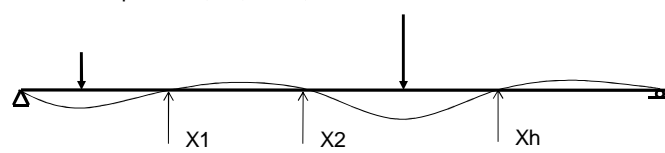
## 4. METHODE DES FORCES

### 4.2 Equation générale

Soit une structure  $S$ ,  $h$  fois hyperstatique, soumise à l'action de forces extérieures  $P$ .



Elle a le même comportement qu'une structure  $S_0$  isostatique, soumise à l'action des forces extérieures  $P$ , et de forces (ou paires de forces) de coupure  $X_1, X_2, \dots, X_h$  dont l'amplitude est telle que les déplacements aux coupures  $d_1, d_2, \dots, d_h$ , soient nuls.



20

Dans $S_0$ ,	Par le principe de superposition, dans $S_0$ ;
$d_1 = 0$	$d_1(X_1) + d_1(X_2) + \dots + d_1(X_h) + d_1(P) = 0$
$d_2 = 0$	$d_2(X_1) + d_2(X_2) + \dots + d_2(X_h) + d_2(P) = 0$
....	....
$d_h = 0$	$d_h(X_1) + d_h(X_2) + \dots + d_h(X_h) + d_h(P) = 0$

Par le principe de superposition, dans  $S_0$ ,

$$d_1(X_1=1) X_1 + d_1(X_2=1) X_2 + \dots + d_1(X_h=1) X_h + d_1(P) = 0$$

$$d_2(X_1=1) X_1 + d_2(X_2=1) X_2 + \dots + d_2(X_h=1) X_h + d_2(P) = 0$$

$$\dots$$

$$d_h(X_1=1) X_1 + d_h(X_2=1) X_2 + \dots + d_h(X_h=1) X_h + d_h(P) = 0$$

21

Par le principe de superposition, dans  $S_0$ ,

$$d_1(X_1=1) X_1 + d_1(X_2=1) X_2 + \dots + d_1(X_h=1) X_h + d_1(P) = 0$$

$$d_2(X_1=1) X_1 + d_2(X_2=1) X_2 + \dots + d_2(X_h=1) X_h + d_2(P) = 0$$

$$\dots$$

$$d_h(X_1=1) X_1 + d_h(X_2=1) X_2 + \dots + d_h(X_h=1) X_h + d_h(P) = 0$$

Si on note  $d_i(X_j=1)$  par  $F_{ij}$ , et  $d_i(P)$  par  $F_{ip}$ , on peut écrire:

Dans  $S_0$ ,

$$F_{11} X_1 + F_{12} X_2 + \dots + F_{1h} X_h + F_{1p} = 0$$

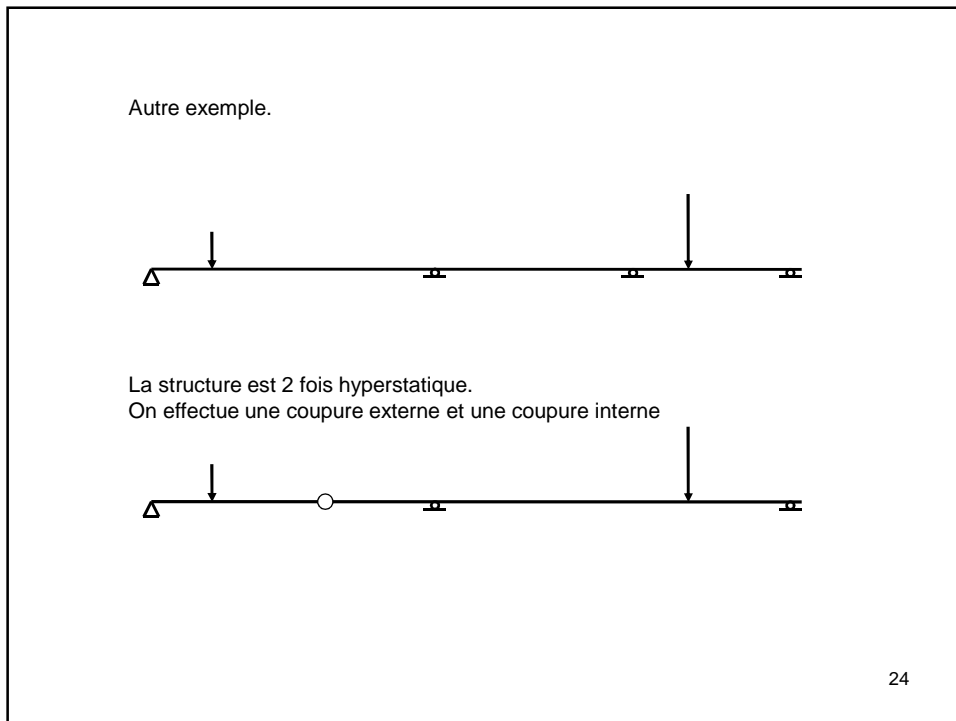
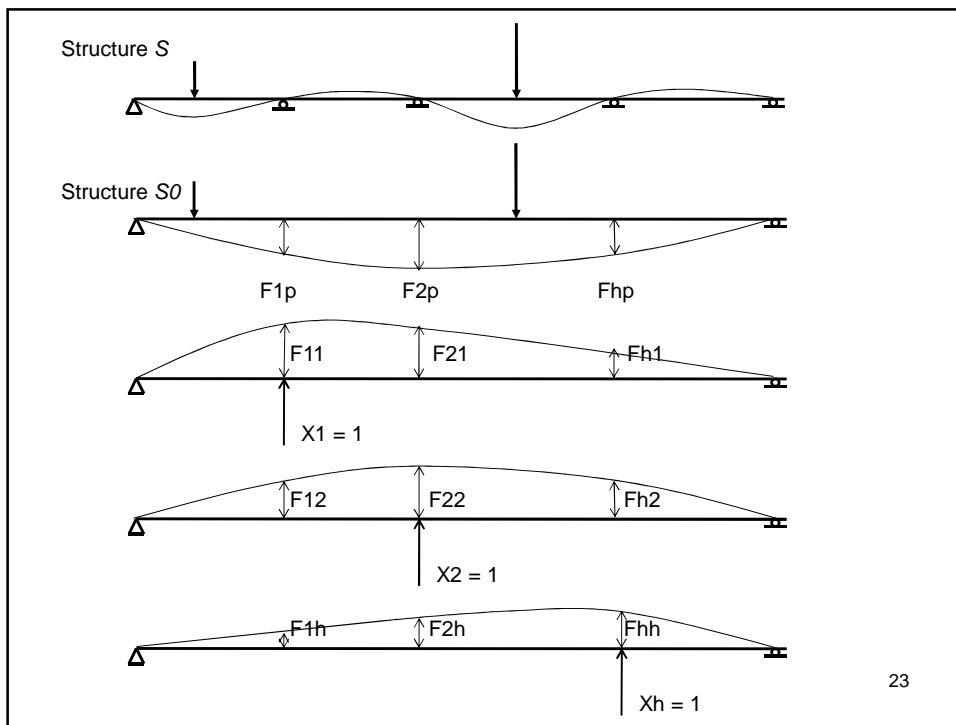
$$F_{21} X_1 + F_{22} X_2 + \dots + F_{2h} X_h + F_{2p} = 0$$

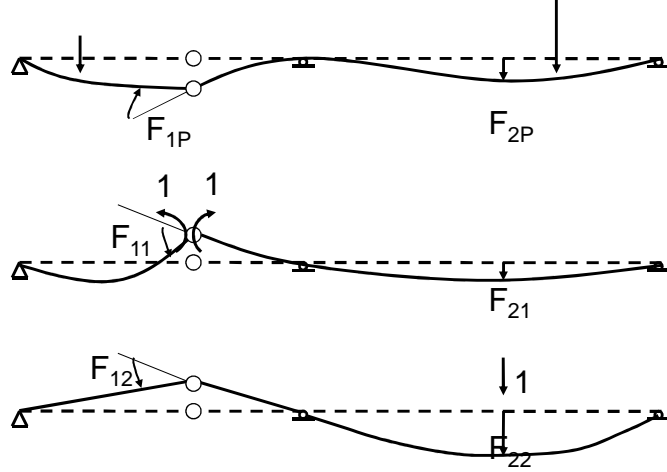
$$\dots$$

$$F_{h1} X_1 + F_{h2} X_2 + \dots + F_{hh} X_h + F_{hp} = 0$$

Si on est capable de calculer les  $F_{ij}$  et  $F_{ip}$ , on pourra résoudre le système et trouver les  $X_j$

22





$$u_1 = F_{11} X_1 + F_{12} X_2 + F_{1P} = 0$$

$$u_2 = F_{21} X_1 + F_{22} X_2 + F_{2P} = 0$$

$$\sum_{j=1}^h F_{ij} X_j + F_{ip} = 0$$

$$[F]\{X\} = -\{F_p\}$$

25

#### 4. METHODE DES FORCES

##### 4.3 Détermination des coefficients de flexibilité $F_{ij}$ et des $F_{ip}$

$F_{ij}$  et  $F_{ip}$  = déplacements (ou déplacements relatifs des lèvres de la coupure) en un point

=> Théorème de la force unité appliquée dans  $S_0$ .

Soit une structure avec une distribution d'efforts intérieurs ( $M, N, V$ ) sous l'action de forces appliquées.

On peut trouver le déplacement  $d$  sous l'état de sollicitation vraie

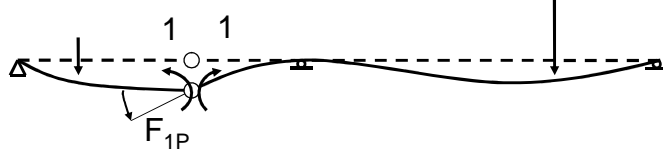
par un champ de forces virtuelles:  
unitaire en  $d$  et dans la direction  $d$ ,  
nulles ailleurs.

$$1 \cdot d = \int_0^S \left( \frac{N N_1}{EA} + \frac{M M_1}{EI} + \frac{V V_1}{GA_v} \right) ds$$

26

## 4. METHODE DES FORCES

### 4.3 Détermination des coefficients de flexibilité $F_{ij}$ et des $F_{ip}$



Soit une structure avec une distribution d'efforts intérieurs ( $M, N, V$ ) sous l'action de forces appliquées.

On peut trouver le déplacement  $d$  sous l'état de sollicitation vraie

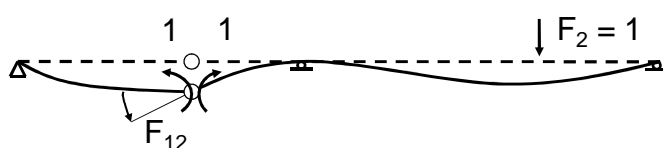
par un champ de forces virtuelles:  
unitaire en  $d$  et dans la direction  $d$ ,  
nulles ailleurs.

$$1d = \int_0^S \left( \frac{NN_1}{EA} + \frac{MM_1}{EI} + \frac{VV_1}{GA_v} \right) ds$$

$$F_{1p} = \int \frac{N_p N_1}{EA} + \frac{M_p M_1}{EI} + \frac{V_p V_1}{GA_v}$$

## 4. METHODE DES FORCES

### 4.3 Détermination des coefficients de flexibilité $F_{ij}$ et des $F_{ip}$



Soit une structure avec une distribution d'efforts intérieurs ( $M, N, V$ ) sous l'action de forces appliquées.

On peut trouver le déplacement  $d$  sous l'état de sollicitation vraie

par un champ de forces virtuelles:  
unitaire en  $d$  et dans la direction  $d$ ,  
nulles ailleurs.

$$1d = \int_0^S \left( \frac{NN_1}{EA} + \frac{MM_1}{EI} + \frac{VV_1}{GA_v} \right) ds$$

$$F_{12} = \int \frac{N_2 N_1}{EA} + \frac{M_2 M_1}{EI} + \frac{V_2 V_1}{GA_v}$$

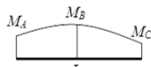
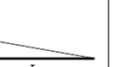
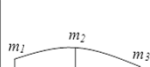
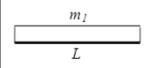
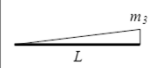
$$F_{ip} = \int \frac{N_p N_i}{EA} + \frac{M_p M_i}{EI} + \frac{V_p V_i}{GA_v}$$

$$F_{ij} = \int \frac{N_i N_j}{EA} + \frac{M_i M_j}{EI} + \frac{V_i V_j}{GA_v}$$

29

#### 4. METHODE DES FORCES

##### 4.4 Tables pour les coefficients de flexibilité $F_{ij}$ et des $F_{ip}$

$\int M_x m_i dx$				
	$\frac{L}{30} \begin{bmatrix} M_A(4m_1 + 2m_2 - m_3) \\ +2M_B(m_1 + 8m_2 + m_3) \\ +M_C(-m_1 + 2m_2 + 4m_3) \end{bmatrix}$	$\frac{L}{6} \begin{bmatrix} M_A m_1 \\ +2(M_A + M_C) m_2 \\ +M_C m_3 \end{bmatrix}$	$\frac{L}{6} M_A [m_1 + 4m_2 + m_3]$	$\frac{L}{6} M_A (m_1 + 2m_2)$
	$\frac{L}{6} \begin{bmatrix} M_A m_1 \\ +2M_B (m_1 + m_3) \\ +M_C m_3 \end{bmatrix}$	$\frac{L}{6} \begin{bmatrix} M_A (2m_1 + m_3) \\ -M_C (m_1 + 2m_3) \end{bmatrix}$	$\frac{L}{2} M_A (m_1 + m_3)$	$\frac{L}{6} M_A (2m_1 + m_3)$
	$\frac{L}{6} (M_A + 4M_B + M_C) m_1$	$\frac{L}{2} (M_A + M_C) m_1$	$LM_A m_1$	$\frac{L}{2} M_A m_1$
	$\frac{L}{6} (2M_B + M_C) m_3$	$\frac{L}{6} (M_A + 2M_C) m_3$	$\frac{L}{2} M_A m_3$	$\frac{L}{6} M_A m_3$

30

## 4. METHODE DES FORCES

### 4.5 Distribution des efforts intérieurs

$$u_1 = F_{11} X_1 + F_{12} X_2 + F_{1P} = 0$$

$$u_2 = F_{12} X_1 + F_{22} X_2 + F_{2P} = 0$$

$$M(x) = M_1(x) X_1 + M_2(x) X_2 + M_P(x)$$

$$N(x) = N_1(x) X_1 + N_2(x) X_2 + N_P(x)$$

$$V(x) = V_1(x) X_1 + V_2(x) X_2 + V_P(x)$$

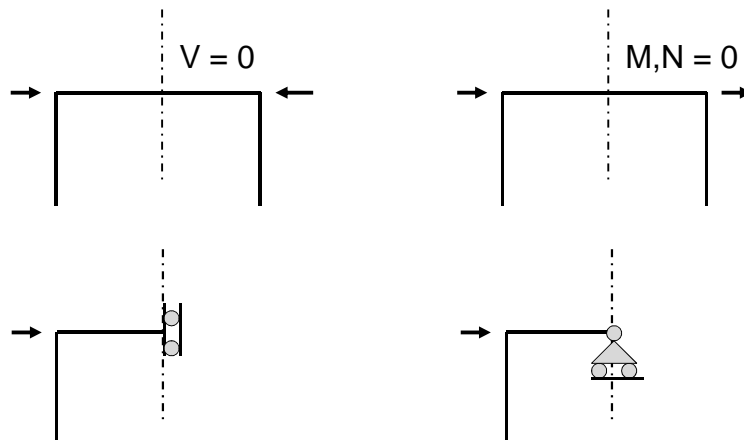
dans S

dans  $S_0$

31

## 4. METHODE DES FORCES

### 4.6 Symétries



32